

04; 09

© 1990

ФОРМИРОВАНИЕ ПРОТЯЖЕННОЙ КАУСТИКИ СВЧ ИЗЛУЧЕНИЯ С ПОМОШЬЮ АКСИКОНА

А.А. Раваев, М.И. Лоза,
 А.А. Мехедъкин, Л.Я. Полонский,
 Л.Н. Пятницкий

Исследования СВЧ разрядов в свободном пространстве в волновых полях со структурой, отличной от получаемой традиционными методами, представляет несомненный интерес для развития концепций теории СВЧ разрядов в газах и для прикладных целей [1–4]. Например, использование волновых пучков с протяженной каустикой может повысить КПД плазменных преобразователей электромагнитного излучения в квазистационарный ток [2], эффективность СВЧ накачки УФ азотных и эксимерных лазеров [3, 4].

В работе рассматривается возможность формирования высокointенсивных СВЧ полей с длинной каустикой с помощью конической линзы – аксиона. Аксикон А обеспечивает подвод энергии электромагнитного излучения к оси системы под фиксированным углом γ на всем протяжении каустики (рис. 1), что и определяет особенность этого метода формирования волновых полей по сравнению с обычными. Симметрия фокусировки при этом такова, что диаметр осевой каустики постоянен по всей длине распространения волнового пучка $L=R/\operatorname{tg} \gamma$, где R – радиус его апертуры до фокусировки. Волновой фронт ВФ такого пучка представляет собой конус с углом раскрытия $\pi - 2\gamma$. Радиальная структура поля в пределах геометрической оптики описывается функцией Бесселя первого рода нулевого порядка $J_0(krs \sin \gamma)$ [5].

Эксперимент по формированию бесселевых лазерных пучков полностью подтвердил расчетные данные [6]. Оптический пробой в поле аксиона позволяет формировать сплошные протяженные лазерные искры, длина которых в атмосфере воздуха доведена в настоящее время до 1 м [7, 8]. Это говорит о целесообразности проведения аналогичных экспериментов в СВЧ диапазоне электромагнитных волн.

Аксикон изготовлен из полиэтилена с диэлектрической проницаемостью $\epsilon = 2.4$. Диаметр его $D = 22.5\lambda$; а электрическая толщина $2\sqrt{\epsilon}\lambda = 4$ см – в этом существенное отличие от условий применения аксионных линз в оптическом диапазоне частот, где $2\sqrt{\epsilon} \gg \lambda$. Для формирования волнового пучка с плоским фронтом перед аксионом устанавливалась отрицательная корректирующая линза КЛ. Апертура пучка за ней $2R = 20$ см. Угол раскрытия аксиона $\sim 140^\circ$ ($\alpha = 20^\circ$ – см. рис. 1). Соответственно угол ско-

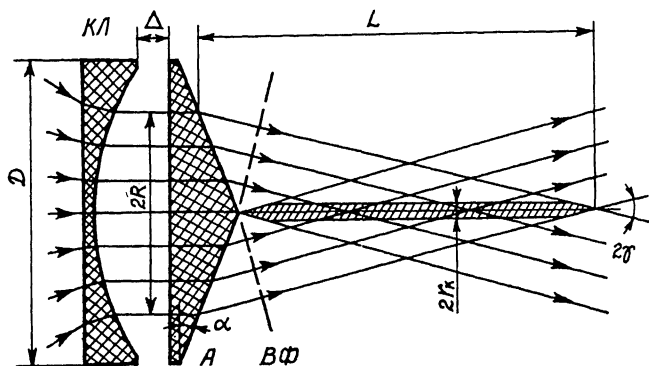


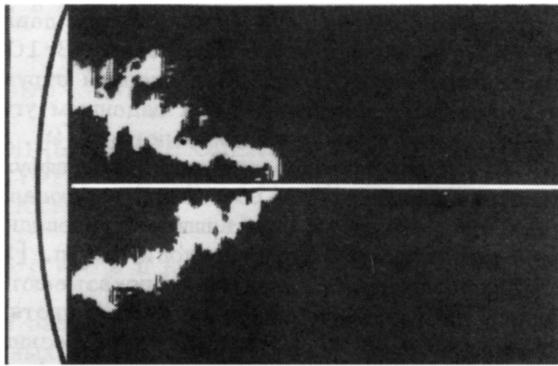
Рис. 1. Схема формирования каустики СВЧ излучения аксионной линзой.

димости излучения $\gamma \approx 11.3^\circ$, и расчетная линия каустики $\sim L = R/tg\gamma \approx R[(\sqrt{\epsilon}-1)\alpha]^{-1} = 50$ см.

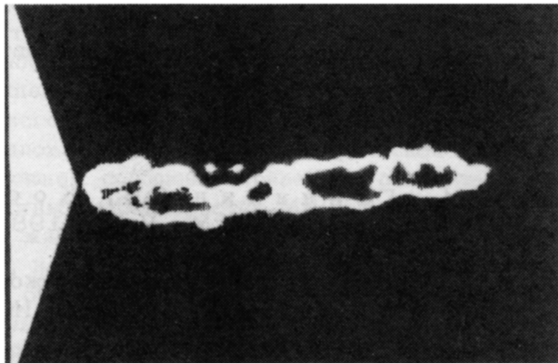
Визуализация формируемого аксионом пространственного распределения интенсивности излучения осуществлялась по термограммам, получаемым с помощью графитизированной майларовой пленки. Пленка располагалась вдоль оптической оси системы за аксионом; ее ширина и длина превышали расчетные значения диаметра и протяженности каустики. Регистрация температурных полей проводилась термовизором *AGA -680*. Погрешность методики без учета краевых эффектов на пленке не превышала 20%. В процессе измерений оптимизировалась ориентация КЛ и ее расстояние до аксиона *A*. Оптимальное с точки зрения получения максимальной протяженной каустики положение корректирующей линзы показано на рис. 1; при этом *A* = 0.

На рис. 2 приведены полученные в режиме изотерм термограммы распределения интенсивности СВЧ излучения за корректирующей линзой (а) и на выходе всей системы за аксионом (б). Очевидно изменение структуры поля. Сформирована квазиоднородная протяженная каустика с продольным размером ~ 45 см по уровню 0.5, что с достаточной точностью совпадает с указанным выше значением $L = 50$ см. Расчетный минимальный диаметр каустики, определяемый „нулями“ функции Бесселя, $2r_k \approx 2.4L[(\sqrt{\epsilon}-1)\alpha]^{-1} \approx 16$ см превышал экспериментальное значение \sim в 1.5 раза. По нашему мнению это объясняется существенным отличием волнового фронта перед аксионом от плоского из-за низкой эффективности работы использованной отрицательной линзы (ее электрическая толщина изменялась от 0.15λ на оси до $\sim\lambda$ на периферии). Это явилось одной из причин и локальной неоднородности каустики (рис. 2, б).

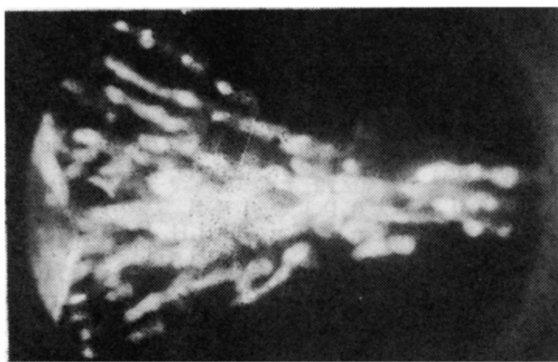
Энергетические потери в формируемом аксионом волновом поле относительно традиционных методов не превышали 2 дБ. Реа-



а



б



в

Рис. 2. Термограммы распределения интенсивности излучения на входе (а) и выходе (б) СВЧ-аксикона. Структура СВЧ разряда в поле аксиона при давлении воздуха 3 Тор (в).

лизация „коротких“ каустик $\sim 15-20$ см при $A=3-5$ см позволила получить даже выигрыш по плотности потока энергии у оси около 1.5 дБ. Поляризация излучения после установки аксиона не изменяется.

Косвенным подтверждением ожидаемых особенностей формируемого аксионом волнового пучка является структура самостоя-

тельного безэлектродного СВЧ разряда (рис. 2в) при давлении воздуха в камере 3 Торр, интенсивности излучения $\sim 3 \cdot 10^3$ Вт/см² и длительности моноимпульса 400 мкс. Приведенная структура отчасти напоминает разряд в сходящихся под заданным углом независимых волновых пучках в аналогичных условиях [9]. При низких давлениях < 1 Торр разряд носил типичный диффузионный характер. При давлении в камере 30–150 Торр наблюдались и другие известные типы разрядов – ветвящиеся, нитевидные (вытянутые вдоль направления электрического поля) и т.п. [1, 9, 10].

Таким образом, проведенные эксперименты доказывают возможность формирования СВЧ пучков бесселевого типа с протяженной каустикой для пробоя газов на значительной длине. Возникающий разряд может представить большой интерес как новый физический объект, а также для ряда практических приложений.

За обсуждение и помощь в проведении исследований авторы благодарят А.Н. Воронина и Ю.И. Хворостянского.

Список литературы

- [1] Батанов Г.М., Грицинин С.И., Косый И.А. и др. // Труды ФИАН. М.: Наука, 1985. Т. 160. С. 174–203.
- [2] Генерация нелинейных волн и квазистационарных токов в плазме / Под ред. Л.М. Коврижных. // Труды ИОФАН. М.: Наука, 1988. Т. 16. 168 с.
- [3] Бабин А.А., Вихарев А.Л., Гинцбург В.А. // Письма в ЖТФ. 1989. Т. 15. В. 5. С. 31–33.
- [4] Слинко В.Н., Сулакшин С.С., Сулакшина Л.В. // ЖТФ. 1988. Т. 58. В. 3. С. 604–606.
- [5] Коробкин В.В., Полонский Л.Я., Попонин В.П., Пятницкий Л.Н. // Квантовая электроника. 1986. Т. 13. В. 2. С. 265–270.
- [6] Аристов А.Г., Марголин Л.Я., Полонский Л.Я., Пятницкий Л.Н. // Оптика атмосферы. 1989. Т. 2. В. 12. С. 1299–1304.
- [7] Полонский Л.Я., Пятницкий Л.Н. // Оптика атмосферы. 1988. Т. 1. В. 7. С. 86–92.
- [8] Andreev N.E., Margolin L.Ya., Polonsky L.Ya., Pyatnitsky L.N. // Proc. XIX Int. Conf. on Phenomena in Ionized Gases. Belgrad. 1989. V. I. P. 50–51.
- [9] Вихарев А.Л., Гильденбург В.Б., Ким А.В. и др. // Высокочастотный разряд в волновых полях. Горький: ИПФ АН СССР, 1988. С. 41–135.
- [10] Голубев С.В., Грицинин С.И., Зорин В.Г. и др. // Высокочастотный разряд в волновых полях. Горький: ИПФ АН СССР, 1988. С. 136–197.